

УДК 546.623.34+66.040.2+549.669.712.7

## Механохимический синтез высокодисперсного гамма-моноалюмината лития

В. П. ИСУПОВ, Л. Э. ЧУПАХИНА, Н. В. ЕРЕМИНА

*Институт химии твердого тела и механохимии Сибирского отделения РАН,  
ул. Кутателадзе, 18, Новосибирск 630128 (Россия)*

E-mail: [isupov@solid.nsc.ru](mailto:isupov@solid.nsc.ru)

### Аннотация

Рассмотрено влияние условий механической активации смеси гидроксида алюминия и карбоната лития в планетарном активаторе АПФ и условий режима последующей термической обработки на фазовый состав, морфологию и дисперсность гамма-моноалюмината лития ( $\gamma\text{-LiAlO}_2$ ). Показана возможность использования синтезированного  $\gamma\text{-LiAlO}_2$  для получения матричного электролита топливного элемента с карбонатным расплавленным электролитом и в составе сепаратора тепловых литиевых батареи.

**Ключевые слова:** механическая активация, гидроксид алюминия, карбонат лития, гамма-моноалюминат лития, топливный элемент с карбонатным расплавленным электролитом

### ВВЕДЕНИЕ

Высокодисперсный гамма-моноалюминат лития,  $\gamma\text{-LiAlO}_2$ , используется в качестве материала для производства трития [1], в составе матричного электролита топливного элемента с карбонатным расплавленным электролитом [2], в качестве материала сепаратора в тепловых литиевых батареях, а также для модифицирования проводимости литий-полимерных электролитов [3]. Наиболее известные методы синтеза  $\gamma\text{-LiAlO}_2$  – керамический [4, 5] и золь-гель [6–9]. Керамический метод прост в реализации, однако образующийся  $\gamma\text{-LiAlO}_2$  зачастую обладает низкой удельной поверхностью, недостаточной для использования алюмината в составе матричного электролита. Золь-гель метод позволяет получать  $\gamma\text{-LiAlO}_2$  с достаточно высокой (5–10 м<sup>2</sup>/г) удельной поверхностью, однако в этом методе синтеза используются дорогостоящие органические соединения алюминия и лития. Кроме того, золь-гель метод сложен в реализации и не экологичен. В этой связи разработка новых, технологически простых и экологически безопасных методов синтеза высокодисперсного гамма-моноалюмината лития представляет несомненный интерес.

В работах [10, 11] показана возможность синтеза высокодисперсного  $\gamma\text{-LiAlO}_2$  путем механической активации смеси карбоната лития и тригидроксида алюминия в лабораторном планетарном активаторе АГО-2 и последующей термической обработки продуктов активации на воздухе.

Цель настоящей работы – выявление возможности и условий реализации механохимического синтеза высокодисперсного гамма-моноалюмината лития с применением укрупненных механохимических активаторов, а также выяснение возможности его использования для получения матричного электролита в топливных элементах и в качестве материала сепаратора в тепловых батареях.

### ЭКСПЕРИМЕНТАЛЬНАЯ ЧАСТЬ

В качестве исходных веществ использовали карбонат лития и тригидроксид алюминия (гиббсит) квалификации “ч.”. Активация проводилась с использованием планетарного активатора АПФ разработки ИХТТМ СО РАН (Новосибирск). Вместимость барабанов составляла 600 мл, количество барабанов – 4 шт., время активации варьировалось от 3 до

10 мин, масса шаровой загрузки в экспериментах – 500 г, навеска 50 г, диаметр стальных шаров 8 мм.

Термическая обработка механически активированной смеси осуществлялась на воздухе в интервале температур 700–900 °C. Для исследования продуктов, образующихся при mechanoхимическом синтезе, использованы методы РФА, ТГ и ДСК. Для структурно-морфологической характеристики синтезированного гамма-моноалюмината лития использован метод РФА, проведено измерение удельной поверхности, исследован гранулометрический состав. Рентгенограммы снимали на дифрактометре ДРОН-4 со скоростью 2°/мин в интервале углов  $2\theta = 10$ – $60$ °,  $\text{CuK}_{\alpha}$ -излучение. Рентгенограммы обрабатывались с использованием графического редактора Origin 6.0. Для исследования микроструктуры алюминатов лития определяли размер областей когерентного рассеяния (ОКР) и величину микродеформации с помощью программы Powder Cell-2.4. Для расчета использовали рентгенограммы, снятые со скоростью 1 град/мин. Удельная поверхность образцов измерялась по методу БЭТ при тепловой десорбции азота на сорбтометре (фирма “Катакон”, Россия). Термический анализ осуществляли с использованием дериватографа STS 449S Jupiter (Netzsch, Германия), атмосфера – воздух, скорость нагрева – 10 °C/мин. Для измерения дисперсности моноалюмината лития использовали лазерный измеритель дисперсности частиц “Микросайзер 201А” (Россия), в качестве дисперсионной среды выбран этиловый спирт.

## РЕЗУЛЬТАТЫ И ОБСУЖДЕНИЕ

### Синтез гамма-моноалюмината лития

Механическая обработка смеси гидроксида алюминия и карбоната лития в течение 3 мин приводит к существенному уменьшению интенсивности рефлексов тригидроксида алюминия при сохранении интенсивности рефлексов карбоната лития. Увеличение времени активации до 5 мин способствует дальнейшему снижению интенсивности рефлексов гидроксида алюминия, а также существенному уменьшению интенсивности рефлексов карбо-

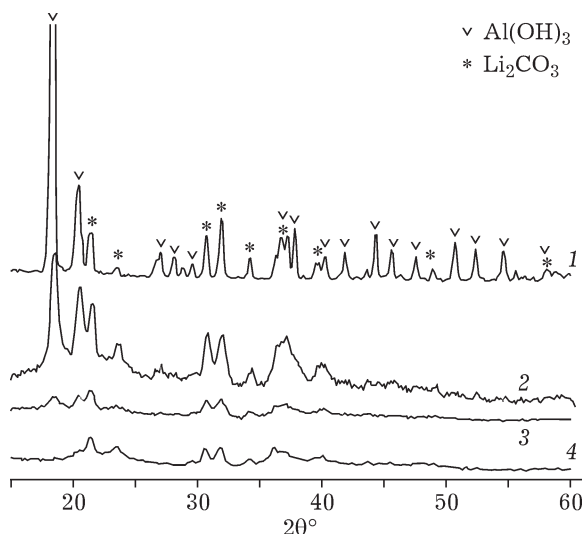


Рис. 1. Рентгенограммы продуктов механической активации смеси  $\text{Al}(\text{OH})_3 + \text{Li}_2\text{CO}_3$  при различных значениях времени активации в АПФ, мин: 0 (1), 3 (2), 5 (3), 10 (4).

ната лития (рис. 1). В результате активации 10 мин наблюдается практически полное исчезновение всех рефлексов тригидроксида алюминия на фоне сохранения некоторых рефлексов карбоната лития.

На кривой ДТА (рис. 2) смеси, механически активированной в течение 5 мин, наблюдается два выраженных эндоэффекта при 80–180 и 220–280 °C. Первый эндоэффект с максимумом около 120 °C связан с удалением молекулярной воды, образовавшейся в ходе механической активации гидроксида алюминия. Потеря массы на этом этапе составляет около 10 %, что соответствует удалению при-

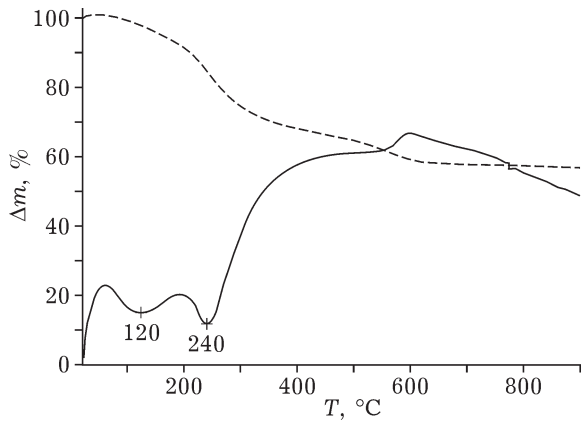


Рис. 2. Данные термического анализа смеси карбоната лития и гидроксида алюминия, механически активированной в АПФ в течение 5 мин. Условия съемки: скорость 10 °C/мин, в атмосфере воздуха, навеска 20 мг.

мерно 1.3 молекулы  $H_2O$  из смеси состава:  $2Al(OH)_3 + Li_2CO_3$ . Второй эндотермический эффект связан преимущественно с дегидратацией гидроксогрупп. Дальнейшая потеря массы при более высокой температуре обусловлена выделением диоксида углерода за счет разложения карбоната лития и образования алюмината лития.

Исследовано влияние времени активации на фазовый состав продуктов, образующихся после термической обработки механически активированной смеси гидроксида алюминия и карбоната лития (рис. 3). В результате термической обработки неактивированной смеси в течение 4 ч и при температуре  $800\text{ }^{\circ}\text{C}$  образуется продукт, содержащий наряду с  $\gamma$ -формой моноалюмината лития значительное количество  $\alpha$ -формы моноалюмината лития. Предварительная механическая обработка смеси в течение 3 мин приводит к существенному снижению содержания  $\alpha$ -формы. Наконец, повышение времени активации до 5–10 мин способствует образованию практически монофазного  $\gamma$ - $LiAlO_2$ .

Исследование влияния времени термической обработки на фазовый состав показало, что нагрев смеси, активированной в течение 5 мин, до  $850\text{ }^{\circ}\text{C}$  в условиях эксперимента приводит к образованию продукта, содержащего небольшое количество  $\alpha$ -формы (рис. 4). При выдерживании смеси при этой темпера-

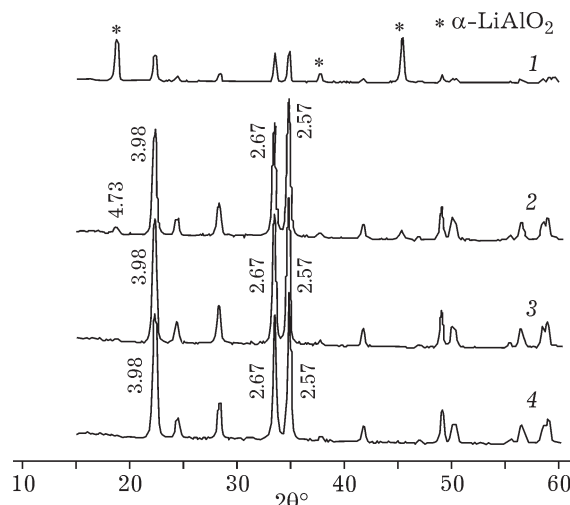


Рис. 3. Влияние времени активации на фазовый состав продуктов прокаливания смеси гидроксида алюминия и карбоната лития. Продолжительность активации, мин: 0 (1), 3 (2), 5 (3), 10 (4); рефлексы, не отмеченные символом \*, относятся к  $\gamma$ - $LiAlO_2$ ; условия термической обработки: температура  $800\text{ }^{\circ}\text{C}$ , время 4 ч.

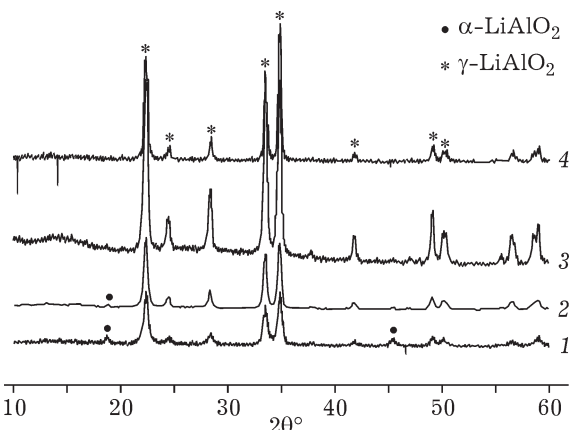


Рис. 4. Рентгенограммы образцов механически активированной в течение 5 мин смеси гидроксида алюминия и карбоната лития: 1 – нагретых до  $850\text{ }^{\circ}\text{C}$ , 2–4 – нагретых и выдержаных при  $850\text{ }^{\circ}\text{C}$  в течение 1, 2, 4 ч соответственно.

туре в течение 1 ч происходит практически полное исчезновение рефлексов  $\gamma$ - $LiAlO_2$ . Дальнейшее увеличение времени термической обработки незначительно сказывается на характере дифракционной картины.

Исследование влияния температуры процесса позволило определить оптимальные условия термической обработки при синтезе монофазного  $\gamma$ - $LiAlO_2$ : температура процесса  $825$ – $850\text{ }^{\circ}\text{C}$ , продолжительность 2–4 ч.

Для описания морфологических характеристик синтезированного гамма-моноалюмината лития определены размеры ОКР и микронапряжений для образцов, синтезированных в различных условиях (табл. 1). Видно, что размеры ОКР возрастают, а величины микронапряжений возрастают с увеличением времени прокаливания и температуры термической обработки. Полученные результаты свидетельствуют о кристаллизации вещества. При увеличении размера кристаллитов наблюдается снижение удельной поверхности твердой фазы. В табл. 1 приведены размеры частиц, определенные с использованием данных по удельной поверхности по формуле  $D = 6/(\rho S)$ , где  $\rho$  – плотность гамма-моноалюмината лития, равная  $2.56\text{ g/cm}^3$ ;  $S$  – удельная поверхность.

Сравнительный анализ полученных результатов показывает, что размер частиц  $D$  примерно в 5–5.5 раз превышает размер ОКР. Если предположить, что частицы алюмината изометричные, то средняя частица с раз-

## ТАБЛИЦА 1

Влияние времени термической обработки и температуры на размер областей когерентного рассеяния (ОКР) и величин микродеформаций для образцов гамма-моноалюмината лития, полученных при различных условиях (время активации 5 мин)

Номер образца	T, °C	Время, ч	Размер ОКР, нм	Величина микронапряжения, %	Удельная поверхность, м <sup>2</sup> /г (размер частиц, нм)
1	850	4	33	0.155	13 (180)
2	850	2	31	0.15	16 (150)
3	850	1	27	0.12	18 (130)
4	875	4	38	0.16	12 (195)
5	850	4	33	0.155	13 (180)
6	825	4	29	0.14	17 (140)

мером  $D$  содержит около сотни кристаллитов. Данные дисперсного состава  $\gamma\text{-LiAlO}_2$ , определенного методом лазерного светорассеяния, свидетельствуют о том, что субмикронные частицы образуют агрегаты с размером 0.5–250 мкм (рис. 5).

**Исследование возможности применения высокодисперсного гамма-моноалюмината лития, синтезированного механохимическим путем, в электрохимической энергетике**

Испытания высокодисперсного гамма-моноалюмината лития для получения матричного электролита топливных элементов с расплавленным карбонатным электролитом выполнены в лаборатории химических источников тока ИВТЭ УрО РАН [12]. В ходе испытаний отработаны условия получения матрич-

ного электролита и режим технологического запуска батареи элементов, а также проведены ресурсные (до 300 ч) испытания трех трехэлементных батарей. Все вольтамперные зависимости элементов батарей в течение испытания носят линейный характер, т. е. истощения электрода не происходит. Измерено изменение напряжения на элементах в зависимости от времени их работы. Напряжение на элементах постепенно уменьшается и выходит на плато, уровень которого не опускается ниже 700–720 мВ при плотности тока 100 мА/см<sup>2</sup> даже при времени работы свыше 280 ч. Полученные данные свидетельствуют о том, что  $\gamma\text{-LiAlO}_2$ , синтезированный с использованием механохимии, пригоден для изготовления матричного электролита для карбонатных топливных элементов и позволяет создавать батареи с высокой удельной мощностью.

Синтезированный гамма-моноалюминат лития испытан также в ОАО “Уралэлемент” в составе сепаратора тепловых батарей. Сепаратор состоял из низкоплавкой смеси галогенидов лития (хлорида, бромида и фторида) и загустителя, в качестве которого использовался порошок  $\gamma\text{-LiAlO}_2$ . Элементы помещались в печь и разряжались при температурах 450–650 °C в течение 22–23 мин. Сила тока разряда составляла 5 А, напряжение при разряде варьировалось от 0 до 2.5 В. Результат испытания считался положительным, если время работы элемента составляло не менее 13 мин при напряжении не менее 1.25 В. Полученные данные свидетельствуют о возможности использования гамма-моноалюмината лития в качестве сепаратора тепловых батарей.

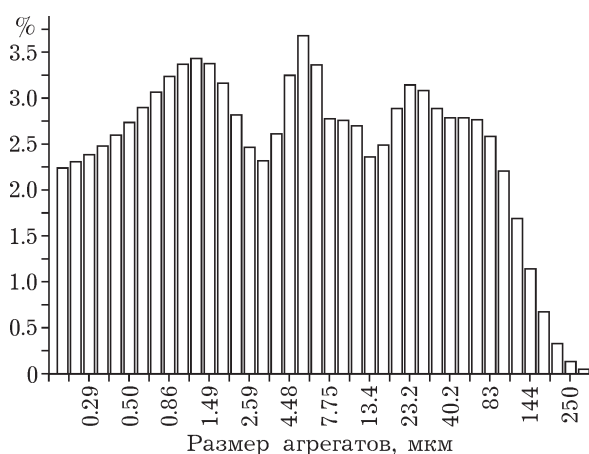


Рис. 5. Дисперсный состав  $\gamma\text{-LiAlO}_2$ , определенный методом лазерного светорассеяния.

**ЗАКЛЮЧЕНИЕ**

В ходе проведенного исследования определены оптимальные условия механохимического синтеза высокодисперсного гамма-моноалюмината лития с использованием опытно-лабораторного планетарного активатора АПФ. Удельная поверхность полученного гамма-моноалюмината лития превышает  $10 \text{ м}^2/\text{г}$ . Он может использоваться для получения матричного электролита в топливных карбонатных элементах, а также в качестве материала сепаратора в тепловых литиевых батареях. Механохимический метод синтеза  $\gamma\text{-LiAlO}_2$  выгодно отличают низкая стоимость исходных реагентов, используемых для процесса, простота и экологичность процесса.

Работа выполнена при финансовой поддержке СО РАН (проекты № 29, 369), ОХНМ (проект № 5.7.8) и ОАО ТВЭЛ.

**СПИСОК ЛИТЕРАТУРЫ**

- 1 Johnson C. E., Kummerer K. R., Roth E. // J. Nucl. Mat. 1988. Vol.155–157. P. 188–201.
- 2 Molten Carbonate Fuel Cells. // Fuel Cell Handbook. 7th Ed. Morgantown: EG&G Techn. Serv., Inc., 2004.
- 3 Morita M., Fujisaki T., Yoshimoto N., Ishikawa M. // Electrochim. Acta. 2001. Vol. 46, No. 10–11. P. 1565–1569.
- 4 Hummel F. A. // J. Am. Ceram Soc. 1951. No. 34. P. 235–240.
- 5 Kinoshita K., Sim J. W., Ackerman J. P. // Mat. Res. Bul. 1978. No. 13. P. 445–455.
- 6 Hirano S., Hayashi T., Kageyama T. // J. Am. Ceram. Soc. 1987. Vol. 70, No. 3. P. 171–174.
- 7 Kwon S. W., Park S. B. // J. Nucl. Mater. 1997. Vol. 246, No. 2–3. P. 131–138.
- 8 Valenzuela M. A., Jimenez-Becerril J., Bosch P., Bulbulian S., Lara V. H. // J. Am. Ceram. Soc. 1996. Vol. 79, No. 2. P. 455–460.
- 9 Ribeiro R. A., Silva G. G., Mohallem N. D. S. // J. Phys. Chem. Solids. 2001. Vol. 62, No. 5. P. 857–864.
- 10 Пат. 2347749 РФ, 2009.
- 11 Харламова О. А., Митрофанова Р. П., Исупов В. П. // Неорган. материалы. 2007. Т. 43, № 6. С. 732–737.
- 12 Баталов Н. Н., Александров К. А. Отчет по НИР “Испытание матричного электролита, изготовленного на основе алюмината лития методами механохимии, в карбонатных топливных элементах”. Екатеринбург, 2009. 113 с.